

## II-24 闸水路の断面変化部における波浪の水理解析 (第2報)

電力中央研究所 正会員 保  
丸園 伸

### まくわき

さて筆者らは、闸水路の断面変化部を通過する波浪の変形に関する実験を行なつた。波浪の変形を実験係数の導入によって解析した。<sup>(1)</sup> この非常常時の実験係数について、通常の流水の場合の係数と比較検討した結果、定常時、実験係数が非常常時に適用できることを確認した。筆者らは用水路の不定流解析に、特性曲線法による方法で、特に波高の大きい波浪について、精度のよい計算ができる方法を開発したが、この方法を断面変化部を通過する不定流の計算に適用し、計算方法を確立した。

### 2 水路中変化部における波浪の解析

断面が矩形で緩勾配水路の水路中変化部を通過する不定流の特性曲線方程式は次のように示される。

$$\text{曲線} \quad \frac{dx}{dt} = u \pm v \text{ の上において} \\ d(u \pm 2v) = \left\{ g \left( i - \frac{\alpha^2 u^2}{P_{\text{底}}} \right) - \frac{u v}{b} \frac{\partial b}{\partial x} \right\} dt \quad \dots (1)$$

(1)式は、水路中の変化が少い場合には適用されますが、水路中が大きく変化する場合には適用されない。水路中変化部付近の流水は複雑であるが、図-1に示すように水路中変化部の上・下流の2点①、②の流水を考慮すれば、2点間のエネルギー一方程式と連続の式は

$$E = h + \frac{u^2}{2g} + z_1 = H + \frac{U^2}{2g} + z_2 + h_f + h_e \quad \dots (2)$$

$$u \cdot b \cdot h = U \cdot B \cdot H \quad \dots (3)$$

となる。

$z_1 = h_f$  : 水路中変化による損失水頭、 $h_f$  : 壁摩擦損失水頭  $\therefore$  (3)

$$\Delta h = H - h, \Delta u = U - u, v = \sqrt{gh} \quad \text{より} \quad (2), (3) \text{式}$$

代入して解けば

$$\Delta u^3 + 3\Delta u \cdot \Delta u^2 + 2(u^2 - v^2 + \frac{k}{2}) \Delta u - 2u(\alpha \cdot v^2 + k) = 0 \quad \dots (4)$$

$$\text{となる。} \quad \therefore k = 2g(z_2 - z_1 + h_f + h_e), \alpha = 1 - \frac{b}{B} \quad \text{である。}$$

(4)式は  $v^2 \gg \frac{k}{2}$ ,  $\alpha v^2 \gg k$  であるから次のようになる。

$$\Delta u^3 + 3\Delta u \cdot \Delta u^2 + 2(u^2 - v^2) \Delta u - 2\alpha u v^2 = 0 \quad \dots (5)$$

$\Delta u$  は(5)式から求められる。また  $v = \sqrt{gh}$  から

$$2\Delta v = \sqrt{\frac{g}{h}} \cdot \Delta h \quad \text{となり、(2)式から} \Delta h \text{の関係を代入し}$$

て  $\Delta v$  を求め、水路中変化による流速と波速の変化  $\Delta u + 2\Delta v$  を求めれば次式となる。

$$\Delta u + 2\Delta v = g \left( i - \frac{\pi^2 u^2}{P_{\text{底}}} \right) \Delta t - \Delta u \left( 1 - \frac{2u - \Delta u}{2v} \right) + \frac{g \cdot h_e}{\Delta x} \Delta t \quad \dots (6)$$

水路中変化による損失水頭  $h_e$  は、一般に算出が難かしいからこれを次のよき係数  $M$  として

$$M = 1 + \frac{g \cdot h_e \cdot \frac{\Delta t}{\Delta x}}{\Delta u \left( 1 - \frac{2u - \Delta u}{2v} \right)} \quad \dots (7)$$

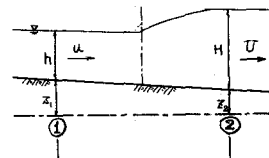
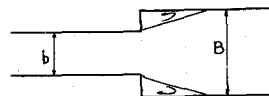


図-1

(1) 式の特性曲線方程式は次のようになる。

$$\left. \begin{aligned} \frac{dx}{dt} &= u + v \\ d(u+2v) &= g\left(i - \frac{\pi^2 u^2}{r^3}\right) dt - \Delta u \left(1 - \frac{2u - \Delta u}{2v}\right) M \end{aligned} \right\} \quad \cdots (8)$$

また図-1の②より①に向って計算する場合には、

$$\left. \begin{aligned} \frac{dx}{dt} &= u - v \\ d(u-2v) &= g\left(i - \frac{\pi^2 u^2}{r^3}\right) dt - \Delta u \left(1 - \frac{2u - \Delta u}{2v}\right) M \end{aligned} \right\} \quad \cdots (9)$$

となる。

### 3 実験結果

全長28mの水路を勾配1/1000に設置し、水路中を 20cm, 30cm, 40cm の3種類にわたって、上流側水路上下流側水路の組合せによる15通り（図-2-C）に対する定常流の実験を行った。

水路中変化部の上流1mの處の水深h<sub>z</sub>、下流1mの處の水深Hを測定し、(6)式より

$$\left( \frac{Q}{bh} - \frac{Q}{BH} \right) + \sqrt{\frac{g}{h}} (H-h) - g\left(i - \frac{\pi^2 u^2}{r^3}\right) \Delta t = A \quad \text{を計算する。一方上流の水深} h \text{と} \Delta u \left(1 - \frac{2u - \Delta u}{2v}\right) = B \text{を求め、実験係数} M \left(\frac{A}{B}\right) \text{を求める。}$$

実験係数Mと水路中変化部の上下流のフルード数との関係を図示すると図-2となる。図-2-aは図-1の①より②に向って、また図-2-bは②より①に向って計算したMの値である。

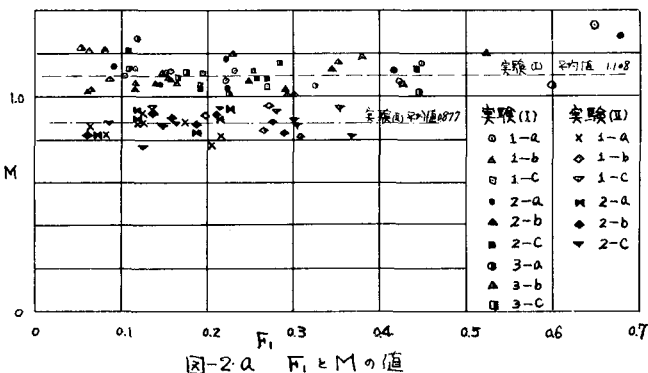


図-2-a F<sub>1</sub> と M の値

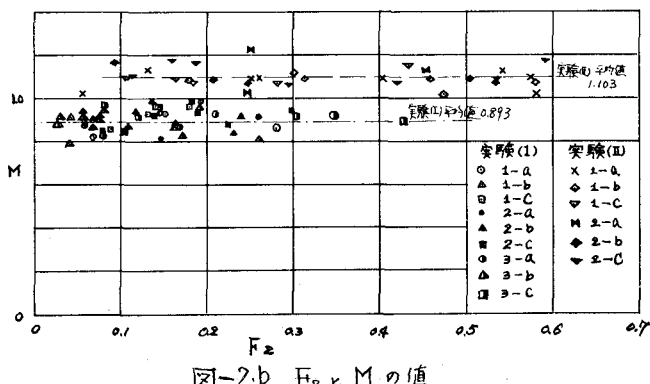
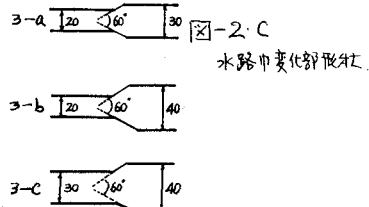
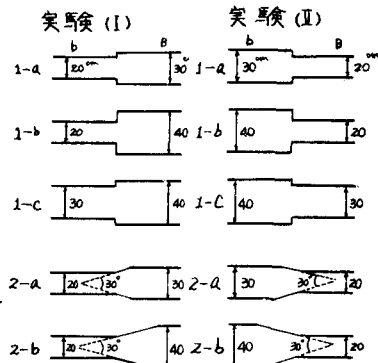


図-2-b F<sub>2</sub> と M の値



水路中変化部形状

図-2において、Mの値は水路中変化部の上・下流の点①、②のフルード数には共用係にあります。すなはち、Mの値を水路中変化比、変化角度によって平均値を求めて表-1とします。

Mの値は水路中変化比や変化角度によらず差はないから、平均値をとつて、水路中が拡大する場合はM=1.105、水路中が縮少する場合はM=0.885となる。

#### 4 水路中変化部の支配断面の生じる場合

水路中変化部の下流の水位が高くなる場合には、本路中変化部において図-3に示すように支配断面が生じる。すなはち、本路中変化部に支配断面が生じると、下流の影響が上流に伝わらないから(8)式は適用できない。支配断面の生じる限界条件を求めて、下流の水深が一定となる場合には計算方法をとる必要がある。(3)

水路中拡大部における支配断面の生じる限界の条件は、水路底を水平とし、損失水頭を無視して、上下流の流向の運動量方程式と連続の式から次のようにならざるを求める。

$$F_2^2 = \frac{h'^2 b^2}{H^2 B^2} F_1^2 \quad \dots (10)$$

$h'$ は水路中変化部における水深である。

$F_1 = 1$ 、すなわち  $h' = h_c$  となる  $F_2$  の条件は、水路中比によつて図-4に示すようになる。すなわち下流の水深、および流速が水路中比によつて定められて  $F_2$  の値 ( $F_2 = \frac{U}{\sqrt{gh}}$ ) が大きくなると変化部に限界水深が生じる。

(4) 水路中縮小部における支配断面は、図-3-bに示すようく水路外に縮流部が生じる。縮流係数Cを  $C = 0.72 + 0.28 \frac{B}{b}$  とおき、拡大水路と同様に運動量方程式と連続の式より

$$F_1^2 = \frac{\left(1 - \left(\frac{h}{h'}\right)^2\right) \frac{h'}{h} \frac{B}{b}}{2 \left(\frac{b}{B} C - \frac{h'}{h}\right)} \quad \dots (11)$$

よどみ

$$\begin{aligned} F_1^2 &= \left(\frac{B}{b}\right)^2 \left(\frac{h'}{h}\right)^2 C^2 F_2^2 \\ &= \left(\frac{B}{b}\right)^2 \left(\frac{h}{h_c}\right)^2 F_2^2 \quad \dots (12) \end{aligned}$$

が満たさなければ、 $F_1 = 1$  ( $h' = h_c$ ) となる場合の水路中縮小部の上流の  $F_1$  と、下流の  $F_2$  の関係は図-5となる。

表-1 実験係数 M の値

実験(I)		実験(II)			
	①→②	②→①			
1-a	1.154	0.860	1-a	0.852	1.103
1-b	1.072	0.915	1-b	0.884	1.054
1-c	1.095	0.901	1-c	0.882	1.095
2-a	1.149	0.886	2-a	0.888	1.123
2-b	1.088	0.914	2-b	0.879	1.119
2-c	1.102	0.912	2-c	0.874	1.123
3-a	1.098	0.859	平均	0.877	1.103
3-b	1.125	0.875			
3-c	1.088	0.919			
平均	1.108	0.893			

$$\begin{aligned} \text{水路中拡大の場合} \\ M_{mean} &= \frac{1.108 + 1.103}{2} \\ &= 1.105 \\ \text{水路中縮小の場合} \\ M_{mean} &= \frac{0.873 + 0.877}{2} \\ &= 0.885 \end{aligned}$$

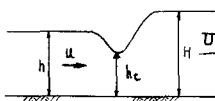
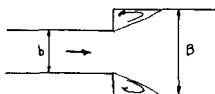


图-3-a

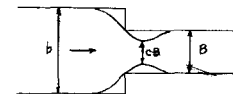
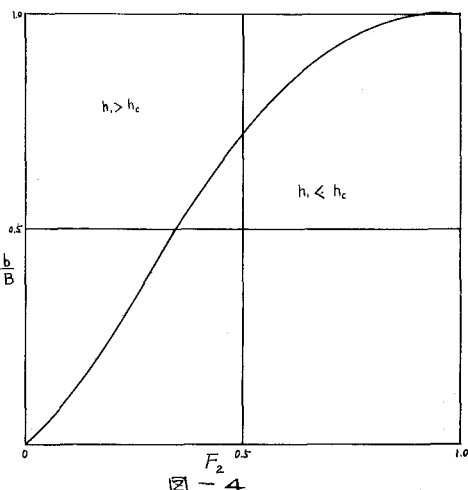


图-3-b



すなわち 下流の水深、流速が水路中比によって定められ  $F_2 = \frac{U}{\sqrt{g} H}$  よりも大きな値となつた場合に付、水路中縮小部で限界水深が生じ、そのときの上流の  $H_1 = \frac{U^2}{\sqrt{g} h}$  ときまよ。

### 5 水路中変化部における特異曲線法

#### 1) 下流段波の計算法

水路中拡大部を通過する段波を(8)式によつて計算する。上・下流から波が伝播してC点で衝突する場合の計算を説明する。(図-6) U, V 平面における符号を太文字、x, t 平面上に下中子符号を小文字とする。水路中変化する部分は直角の区間をもつて、水

路の長さに比べて短いから、計算には次のような簡略化を行つ。

上流から伝播した波 A は、中変化により流速と水位が変化し A' となり a 点から b' 点に移る。この変化量は(8)式

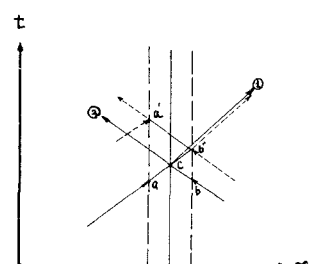
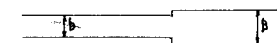


図-6 計算法説明図

によつて計算する。 $b'$ における下流からの波  $B$  と  $A'$  からの左の勾配線の交差から  $B'$  が求まる。この波の伝播速度で  $b'$  点から下流に向う。④  $b'$  から上流に向う  $B'$  の波は、中変化により流速と水位が変化し  $B''$  となり  $a'$  点に移る。  $a'$  では上流からの波  $A$  と  $B''$  からの左の勾配線の交差から  $A'$  が求まり、C点から上流に向う。⑤

### 6 計算結果

図-7 のような水路中が  $30^\circ$  より  $40^\circ$  と変化する水路で上流より  $10^\circ$  から  $20^\circ$  上流を急増しの場合の計算を行つて実験結果と比較した。表-2 に示すように两者はよく一致する。この計算方法が十分に実用に供することを裏証した。水路中変化部で限界水深が生じる場合は、次下す流量の点を連続として境界条件で上・下流の水路を繋ぎ計算すればよい。

#### 参考文献

- (1) 第2回次序統計法講演会概要
- (2) 「特性曲線法による不規則波の計算法」 実験研究報告書第13, 16号, 1963-12
- (3) 著用「開水路断面変化部の水理とその適用」 廉井洋一郎著 1967年3月
- (4) 石原 亮吉「開水路変形部の水理学的性状に関する研究」 第2回次序統計法講演会概要

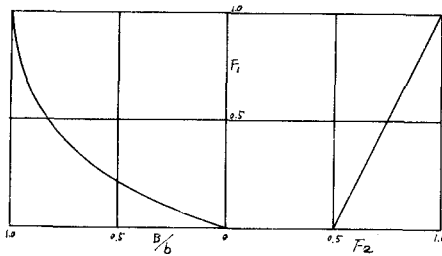


図-5

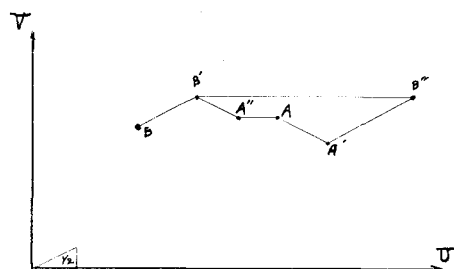


図-6 計算法説明図

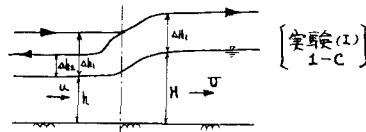


図-7 実験値と計算値の比較

	$h$ cm	$H$ cm	$\Delta h_1$ cm	$\Delta H_1$ cm	$\Delta h_2$ cm
計算値	11.65	12.25	2.10	1.85	1.50
実験値	11.65	12.25	2.10	1.95	1.60
計算値	16.40	16.95	2.20	1.90	1.70
実験値	16.40	16.95	2.10	1.80	1.80
計算値	20.70	21.15	1.90	1.65	1.45
実験値	20.70	21.15	2.00	1.70	1.55